

Специалистам, работающим в области кристаллизации, хорошо известно явление слоистого распределения примесей в закристаллизованных образцах. На фиг. 2 показано периодическое распределение примесей в алюминиевом поликристаллическом стержне, полученном по способу А. В. Степанова [1]. Это явление не нашло еще исчерпывающего объяснения. Предполагаем, что явление стратификации расплава у фронта кристаллизации может быть причиной появления примесных полос в закристаллизованном образце. Действительно, при эффективном коэффициенте распределение примеси, отличном от единицы, перед фронтом кристаллизации всегда имеется градиент концентрации примеси. Изменение температуры расплава происходит в результате относительного перемещения жидкости и фазовой границы. Наблюдаемые на опыте колебания фронта кристаллизации [2] также могут быть объяснены в рамках предлагаемой схемы. Отметим, что подобная ситуация может иметь место и при стратификации геологических отложений [3,4].

К сожалению, отсутствует какое-либо объяснение описанного эффекта или его математическая модель. Работа была проведена после знакомства со статьей [5], где автор полагал, что образование страт связано с коллоидной структурой водного раствора медного купороса при резком его охлаждении. Эксперименты, однако, отрицают возможность подобного объяснения и показывают большую универсальность эффекта в отношении условий его проявления.

Поступила 14 III 1969

ЛИТЕРАТУРА

- Степанов А. В. Новый способ получения изделий (листов, труб, прутков различного профиля и т. п.) непосредственно из расплава. Ж. техн. физ., 1959, т. 29, вып. 3.
- Шашков Ю. М., Степанова Г. М. Колебания фронта кристаллизации при выращивании кремния методом Чохральского. Докл. АН СССР, 1968, т. 179, № 4.
- Когарко Л. Н., Волков В. П. Физико-химическая эволюция щелочной магмы дифференциального комплекса Ловозерского массива в связи с его ритмической расслоенностью. В сб.: «Химия земной коры», М., Изд-во АН СССР, 1963, т. 1.
- Ярошевский А. А. Принцип зонной плавки и его применение при решении некоторых геохимических вопросов. В сб.: «Химия земной коры». М., Изд-во АН СССР, 1964, т. 2.
- Schaffs W. Der Konzentrationszoneneffekt. Die Naturwissenschaften, 1964, Bd 51, H. 4.

ЭКСПЕРИМЕНТАЛЬНОЕ ОПРЕДЕЛЕНИЕ ЭЛЕКТРОПРОВОДНОСТИ ПЛАЗМЫ АРГОНА В СТАБИЛИЗИРОВАННОЙ ДУГЕ

В. А. Батурин

(*Новосибирск*)

Описан метод определения электропроводности σ как функции температуры T по данным измерений в протяженных радиально симметричных источниках плазмы. На условных численных примерах проводится анализ точности и особенностей метода. Приведены результаты измерений на стабилизированной аргоновой дуге и полученная по ним зависимость $\sigma(T)$ для аргоновой плазмы. Проведены анализ результатов, сравнение их с теорией и экспериментальными данными других работ.

При исследовании и расчетах многих процессов в плазме требуется знание электропроводности σ в зависимости от температуры T . Теоретические расчеты $\sigma(T)$ с использованием разных формул электропроводности и данных по сечениям столкновений между частицами в плазме дают существенно различные результаты [1]. В связи с этим важно иметь надежные экспериментальные методы определения электропроводности.

Опытное определение $\sigma(T)$ осложняется тем, что искусственно получаемая плазма, как правило, неизотермична по объему. Связанные с проводимостью величины и эффекты имеют при этом интегральный характер, что затрудняет интерпретацию результатов измерений. Стационарную плазму с температурами до $10\ 000 \div 15\ 000^{\circ}\text{K}$ и выше получают обычно с помощью электрических дуг. Существующие методы определения $\sigma(T)$ по данным измерений в дугах имеют ряд недостатков.

Метод, основанный на измерении средних атомных сечений Q_a [2,3], исходит из теоретических формул электропроводности, требует знания сечений взаимодействия между электронами и ионами и не учитывает зависимость величины Q_a от температуры. Независимый от теории метод дается в работе [4]. Однако исходные предпосылки этого метода ограничивают возможности его применения. Метод в принципе нельзя использовать, например, в случае дуг при наличии интенсивных потоков газа, в дугах с оптически непрозрачной плазмой и других частных случаях. Два других метода [5,6] требуют измерения параметров дуги при достаточно большом числе режимов с большим интервалом температур на оси столба. Однако регулирование температуры плазмы в широких пределах практически возможно далеко не во всех дугах. Кроме того, эти методы чувствительны к ошибкам измерения параметров дуги и обладают некоторыми другими недостатками.

1. Пусть имеется достаточно протяженный объем плазмы с радиально симметричным распределением температуры и других свойств относительно продольной оси z (столб дуги, плазменная струя и т. п.). На плазму в направлении оси z действует электрическое поле, вызывающее ток I , причем устанавливается некоторое распределение потенциала $V(z)$. Напряженность электрического поля $E = dV / dz$ постоянна в сечениях $z = \text{const}$. Плазма термодинамически равновесна и, следовательно, для нее существует однозначная зависимость между σ и T . Тогда для данного сечения $z = \text{const}$ с радиальным распределением температуры $T(r)$ можно записать закон Ома в виде

$$\frac{I}{E} = G = 2\pi \int_0^R \sigma [T(r)] r dr \quad (1.1)$$

где G — интегральная по сечению проводимость, R — радиус внешней границы плазмы в этом сечении.

Допустим, что из опыта известны интегральные проводимости $G_i = I_i / E_i$ и профили температуры $T_i(r)$ для некоторого числа N различных состояний (режимов) плазмы в сечениях $z = \text{const}$ ($i = 1, 2, \dots, N$). По этим данным требуется определить электропроводность σ как функцию температуры T в области $T \leq \max T(0)$ ($\max T(0)$ — наибольшее из всех значений температуры на оси $T_i(0)$, $i = 1, 2, \dots, N$).

Зависимость $\sigma(T)$ будем искать в форме некоторой аналитической функции $\sigma^\circ(T)$, вид которой может быть выбран исходя из следующих достаточно очевидных положений.

1. При любой максимальной температуре плазмы T_{\max} всегда найдется такая температура $T_0 < T_{\max}$, ниже которой $\sigma(T) \ll \sigma(T_{\max})$, или приближенно

$$\sigma(T) \approx \sigma_0^\circ(T) = 0 \quad (T < T_0) \quad (1.2)$$

Величину T_0 можно назвать относительной температурной границей проводимости,

2. В любом не слишком большом интервале значений (T_1, T_2) функция $\sigma(T)$, будучи, очевидно, непрерывной и гладкой, может быть с достаточно хорошим приближением описана степенным многочленом вида

$$\sigma(T) \approx \sigma_1^\circ(T) = \sum_{k=0}^m a_k (T - T_1)^k \quad (T_1 \ll T \ll T_2) \quad (1.3)$$

где a_k ($k = 0, 1, \dots, m$) — некоторые коэффициенты.

Нулевую функцию $\sigma_0^\circ(T)$ и многочлен $\sigma_1^\circ(T)$ можно представить как единую функцию $\sigma^\circ(T)$, неразрывную при всех значениях $T < T_{\max}$. Для этого необходимо принять $T_1 = T_0$, $T_2 = T_{\max}$, $a_0 = 0$ и, по крайней мере, $a_1 = 0$. Учитывая это, зависимость σ от T в области $T \leq \max T(0)$ будем искать в виде

$$\sigma^\circ(T) = \sigma_0^\circ(T) = 0 \quad (T \leq T_0) \quad (1.4)$$

$$\sigma^\circ(T) = \sigma_1^\circ(T) = \sum_{k=l}^m a_k (T - T_0)^k \quad (T_0 \leq T \leq \max T(0))$$

где $l \geq 2$. Величина T_0 наряду с коэффициентами a_k ($k = l, l+1, \dots, m$) должна рассматриваться здесь как свободный параметр функции $\sigma^\circ(T)$. С учетом (1.4) выразим радиальные распределения проводимости через известные профили температуры в виде

$$\begin{aligned} \sigma_i(r) = \sigma[T_i(r)] &\approx \sigma^\circ[T_i(r)] = \sum_{k=l}^m a_k [T_i(r) - T_0]^k \quad (0 \leq r \leq r_{0i}) \\ \sigma_i(r) &\approx 0 \quad (r_{0i} \leq r \leq R_i) \end{aligned} \quad (1.5)$$

где R_i — радиус внешней границы плазмы в i -м режиме; r_{0i} — значения радиуса r , соответствующие температуре $T = T_0$ ($i = 1, 2, \dots, N$). Подставляя (1.5) в (1.1), получаем выражения для интегральных проводимостей в виде

$$G_i \approx G_i^\circ = \sum_{k=l}^m a_k \Phi_{ki} \quad (1.6)$$

$$\Phi_{ki} = 2\pi \int_0^{r_{0i}} [T_i(r) - T_0]^k r dr \quad (i = 1, 2, \dots, N; k = l, l+1, \dots, m) \quad (1.7)$$

Оптимальные значения параметров a_k ($k = l, l+1, \dots, m$) и T_0 будем искать из условия наилучшего приближения величин

$$G_i^\circ = 2\pi \int_0^{R_i} \sigma^\circ [T_i(r)] r dr$$

к истинным значениям интегральных проводимостей

$$G_i = 2\pi \int_0^{R_i} \sigma [T_i(r)] r dr$$

для совокупности всех N режимов ($i = 1, 2, \dots, N$). В соответствии с принципом метода наименьших квадратов приближение G_i° к G_i следует считать наилучшим, когда

$$S = \sum_{i=1}^N (G_i - G_i^\circ)^2 = \min, \quad \text{или} \quad S = \sum_{i=1}^N \left(G_i - \sum_{k=l}^m a_k \Phi_{ki} \right)^2 = \min \quad (1.8)$$

Это условие, очевидно, будет выполнено при равенстве нулю частных производных от величины S по всем свободным параметрам, а именно

$$\frac{\partial S}{\partial a_j} = \frac{\partial}{\partial a_j} \left[\sum_{i=1}^N \left(G_i - \sum_{k=l}^m a_k \Phi_{ki} \right)^2 \right] = 0 \quad (j = l, l+1, \dots, m) \quad (1.9)$$

$$dS / dT_0 = 0 \quad (1.10)$$

Раскрыв производные в (1.9), получим $m-l+1$ уравнений

$$\sum_{k=l}^m a_k \sum_{i=1}^N \Phi_{ki} \Phi_{ji} = \sum_i G_i \Phi_{ji} \quad (j = l, l+1, \dots, m) \quad (1.11)$$

линейных относительно $m-l+1$ неизвестных a_k ($k = l, l+1, \dots, m$) при фиксированных значениях параметра T_0 . С учетом T_0 общее число неизвестных равно $m-l+2$. В качестве недостающего уравнения следует рассматривать равенство (1.10). При условии $m-l+2 \leq N$ оптимальные параметры a_k и T_0 могут быть определены с помощью уравнений (1.11) и равенства (1.10) следующим образом.

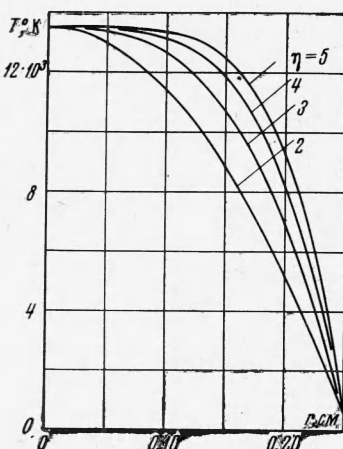
Внутри области $T < \min T(0)$ (т. е. области, лежащей ниже наименьшего из всех имеющихся значений температуры на оси $T_i(0)$, $i = 1, 2, \dots, N$) задается ряд значений $T_0 = T_0', T_0'', T_0''', \dots$, затем по формуле (1.7) вычисляются величины $\Phi_{ki} = \Phi_{ki}', \Phi_{ki}'', \Phi_{ki}''' \dots$ ($i = 1, 2, \dots, N$; $k = l, l+1, \dots, m$) и с учетом последних составляются системы уравнений вида (1.11). Из решения этих уравнений определяются значения коэффициентов $a_k = a_k', a_k'', a_k''' \dots$, после чего по формуле (1.8) вычисляются соответствующие значения $S = S', S'', S''' \dots$. В результате находится зависимость $S(T_0)$ в виде отдельных точек $S'(T_0')$, $S''(T_0'')$, $S'''(T_0''') \dots$. По минимуму функции $S(T_0)$ определяется оптимальное значение T_0 , отвечающее равенству (1.10). Решение системы уравнений (1.11), составленной при этом значении T_0 , даст искомые значения коэффициентов a_k ($k = l, l+1, \dots, m$). Тем самым будет определена функция $\sigma^\circ(T)$ вида (1.4), отвечающая условию (1.8) и, по-видимому, наилучшим образом (при данных значениях l и m) описывающая зависимость $\sigma(T)$.

Все численные расчеты (включая оптимизацию решений по T_0) были запрограммированы для ЭВМ М-20. Необходимое для полной обработки машинное время, зависящее главным образом от величины задаваемого шага ΔT_0 , составляет 5–10 мин.

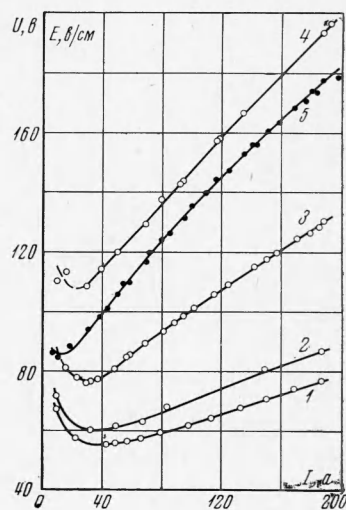
2. Функция $\sigma^*(T) \approx \sigma(T)$ имеет очень сложную связь с исходными величинами G_i и $T_i(r)$. Ввиду этого не представляется возможным оценить точность метода аналитически. Однако при использовании ЭВМ метод легко проверить на условных примерах. Для этого задается некоторая функция $\sigma^*(T)$, условно принимаемая за истинную зависимость $\sigma(T)$, и при некотором числе N^* заданных профилей температуры $T_i^*(r)$ рассчитываются условные интегральные проводимости

$$G_i^* = 2\tau \int_0^{R_i^*} \sigma^*[T_i^*(r)] r dr \quad (i=1, 2, \dots, N^*)$$

Из обработки описанным методом величин G_i^* и $T_i^*(r)$ определяется функция, наилучшего приближения $\sigma^{**}(T)$ вида (1.4). По тому, как эта функция воспроизводит исходную зависимость $\sigma^*(T)$, можно судить о точности и надежности метода.



Фиг. 1



Фиг. 2

Для численной проверки метода указанным способом в качестве условной функции $\sigma^*(T)$ была принята теоретическая зависимость σ от T для аргона, рассчитанная по формулам работы [8]. Величины G_i^* вычислялись с учетом выбранной функции $\sigma^*(T)$ для двух различных групп температурных кривых $T_i^*(r)$. Первая из них представляет собой набор реальных профилей температуры в столбе аргоновой дуги с интервалом значений $T^*(0) = 9220 \div 13470^\circ\text{K}$ (см. п. 3, фиг. 3). Вторая группа кривых $T_i^*(r)$, показанная на фиг. 1, рассчитывалась по формуле

$$T^*(r) = T^*(0) - [T^*(0) - T_w^*] r^n R^{*-n}$$

Здесь T_w^* — условная температура на внешней границе плазмы (на стенке). Кривые на фиг. 1 соответствуют значениям $\eta = 2, 3, 4, 5$ (при неизменных значениях $T^*(0) = 13500^\circ\text{K}$, $T_w^* = 500^\circ\text{K}$, и $R^* = 0.25\text{ см}$). Наряду с изменением характера кривых $T_i^*(r)$ в поверочных расчетах также варьировались значения n (при $l = \text{const} = 2$) и число используемых режимов N^* . Степень приближения $\sigma^{**}(T)$ к $\sigma^*(T)$ характеризовалась величиной средненеинтегральных абсолютных $\langle \Delta\sigma^* \rangle$ и относительных $\langle \delta^* \rangle$ отклонений, вычислявшихся по формулам

$$\langle \Delta\sigma^* \rangle = \frac{1}{T_2 - T_1} \int_{T_1}^{T_2} |\sigma^{**}(T) - \sigma^*(T)| dT \quad (2.1)$$

$$\langle \delta^* \rangle = \frac{\langle \Delta\sigma^* \rangle}{\langle \sigma^* \rangle}, \quad \langle \sigma^* \rangle = \frac{1}{T_2 - T_1} \int_{T_1}^{T_2} \sigma^*(T) dT \quad (2.2)$$

в интервале температур от 8000 до 13500°K

Результаты восьми различных вариантов поверочного расчета приведены в табл. 1. Варианты 1, 2, 3, 4 рассчитывались при значениях $m = 2, 3, 4, 5$ соответственно и использовании данных для десяти условных режимов с распределениями температуры $T_i^*(r)$ согласно фиг. 3. В вариантах 5, 6, 7 менялось число режимов N^* (в пределах от 4 до 8) при одном и том же значении $m = 4$. В восьмом варианте расчета функция $\sigma^*(T)$ определялась при $m = 4$ по данным четырех условных режимов с профилями температур $T_i^*(r)$, имеющими одинаковые значения $T^*(0) = 13500^\circ\text{K}$ (фиг. 1). Интервалы значений G_i^* для использованных условных режимов указаны в таблице.

Таблица 1

Вариант	$T^*(0), ^\circ\text{K}$	$G^*, \text{мо}\cdot\text{см}$	N^*	m	$\langle \Delta \sigma^* \rangle, \text{мо}/\text{см}$	$\langle \delta^* \rangle \cdot 100\%$
1	9220 \pm 13470	1.80 \pm 12.95	10	2	1.16	2.7
2	9220 \pm 13470	1.80 \pm 12.95	10	3	0.78	1.8
3	9220 \pm 13470	1.80 \pm 12.95	10	4	0.52	1.2
4	9220 \pm 13470	1.80 \pm 12.95	10	5	0.20	0.5
5	10290 \pm 13470	3.25 \pm 12.95	8	4	0.54	1.2
6	9940 \pm 13470	2.61 \pm 12.95	5	4	0.52	1.2
7	9220 \pm 13470	1.80 \pm 12.95	4	4	0.51	1.2
8	13500	3.72 \pm 8.68	4	4	0.56	1.3

Из анализа данных таблицы вытекают следующие соображения.

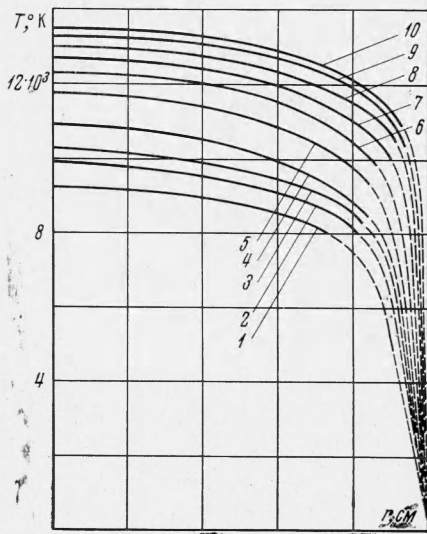
1. Как видно из вариантов расчета 1, 2, 3, 4, точность воспроизведения зависимости $\sigma^*(T)$ функцией $\sigma^{*0}(T)$ возрастает с увеличением m . При наличии точных значений G_i и $T_i(r)$, по-видимому, можно достичь сколь угодно высокой точности определения $\sigma(T)$ в виде (1.4), увеличивая m при $l = \text{const}$. Но, учитывая, что величины G_i и $T_i(r)$ могут определяться из опыта с точностью порядка одного или нескольких процентов, практически достаточно брать $m = 3 \div 5$ (при $l = 2$).

2. Из вариантов расчета 3, 5, 6, 7 следует, что при неизменных l и m степень приближения $\sigma^{*0}(T)$ к $\sigma^*(T)$ практически не зависит от числа N^* использованных режимов (при $N^* \geq m - l + 2$). Это значит, что для определения электропроводности $\sigma(T)$ данным методом, в принципе, достаточно располагать величинами G_i и $T_i(r)$ для минимального числа режимов $N_{\min} = m - l + 2$ (например, при $l = 2$ и $m = 3$ $N_{\min} = 3$). С другой стороны, число режимов ничем не ограничивается сверху. Если обеспечить достаточно сильное неравенство $N > m - l + 2$, то, как следует из анализа уравнений (1.11), в процессе определения зависимости σ от T автоматически должно происходить усреднение случайных ошибок измерения G_i и $T_i(r)$.

3. При использовании кривых $T_i^*(r)$ с одинаковыми значениями $T^*(0) = 13500^\circ\text{K}$ получился практически тот же результат, что и в случае кривых $T_i^*(r)$ с интервалом значений $T^*(0) = 9220 \div 13470^\circ\text{K}$ (ср. варианты 8 и 7). Это говорит о том, что для данного метода величина интервала температур на оси не имеет принципиального значения.

3. Изложенным выше методом в работе определялась электропроводность плазмы аргона при атмосферном давлении и температурах \sim до 13500°K .

Эксперименты производились на дуге, стабилизированной медными диафрагмами [7]. Стабилизирующий канал дуги имел диаметр $d = 5 \text{ mm}$ и состоял из отдельно охлаждаемых секций (каждая секция набиралась из нескольких диафрагм). Индивидуальные охлаждения имели также катодная и анодная части и призелектродные диафрагмы. Число секций в канале менялось от 2 до 5, полная длина дуги — от 4.86 до 12.3 см. В одной или нескольких диафрагмах имелись окна для оптических измерений поперек столба дуги. Исследуемый газ (аргон) подавался в дугу со стороны катода. Расход его поддерживался постоянным и равным $g = 0.02 \text{ g/сек}$.



Фиг. 3

В опытах измерялись ток I , напряжение на электродах U , величины мощностей W_{wi} , передаваемые от плазмы к стенкам на n отдельных участках дуги ($i = 1, 2, \dots, n$), напряженность электрического поля E и распределения температуры в столбе $T(r)$. Указанные измерения проводились в интервале токов I от 5 до 190 а.

Поглощаемые стенками мощности W_{wi} определялись калориметрическим способом. Ввиду незначительного расхода аргона вынос энергии с газом за пределы дуги был пренебрежимо мал [8] и поэтому следовало ожидать выполнения равенства

$$\sum_{i=1}^n W_{wi} \approx W = IU \quad (3.1)$$

где W — мощность дуги. Экспериментальные значения I , U и W_{wi} ($i = 1, 2, \dots, n$) удовлетворяли равенству (3.1) с точностью до $1 \div 1.5\%$, что свидетельствовало о надежности измерений.

Напряженность электрического поля E определялась двумя различными методами.

В первом методе значения величины E находятся из обработки вольт-амперных характеристик $U(I)$, измеренных при различных длинах дуги l . По этим характеристикам строятся графики зависимости $U(l)$ (для интересующих значений тока $I = \text{const}$), которые должны оказаться линейными, если при всех значениях l столб дуги цилиндрически симметричен и не меняются условия на электродах. В таком случае наклон графиков $U(l)$ дает значения напряженности поля в столбе.

Во втором методе из баланса мощности для цилиндрического столба дуги имеем:

$$\frac{W_w}{l_w} = IE, \quad \text{или} \quad E = \frac{W_w}{l_w I} \quad (3.2)$$

Здесь W_w — мощность, поглощаемая стенками на измерительном участке канала длиной l_w .

В исследованной дуге однородность столба по длине и равенства (3.2) практически имели место при расходах аргона $g \ll 0.05 \text{ г/сек}$ [8], поэтому использование указанных методов в случае $g = 0.02 \text{ г/сек}$ было вполне правомерным.

Для определения напряженности поля E первым методом использовались характеристики $U(l)$, измеренные при $l = 4.86, 5.60, 8.13$ и 12.3 см (кривые 1, 2, 3, 4 на фиг. 2 соответственно). Полученные по этим характеристикам графики зависимостей $U(l)$ для различных значений $I = \text{const}$ оказались линейными. Найденные по их наклону значения напряженности поля в столбе хорошо описались гладкой кривой 5, показанной также на фиг. 2. Здесь же точками нанесены значения $E \times 10$, полученные вторым методом (3.2) с использованием данных калориметрических измерений на различных участках (секциях) стабилизирующего канала. В пределах точности измерений результаты обоих методов согласуются между собой.

Температура плазмы в столбе дуги определялась по абсолютной интенсивности излучения в непрерывном спектре аргона при длине волны $\lambda = 4300 \text{ \AA}$. Яркость континуума определялась по очертаниям на снимках спектра дуги, полученных с помощью спектрографа ИСП-51. В качестве эталона использовалось свечение анодного пятна угольной дуги с известной спектральной яркостью [9]. Наблюдаемые сбоку дуги профили интенсивности пересчитывались в радиальные распределения плотности излучения $\varepsilon_\lambda(r)$ путем решения интегрального уравнения Абеля. Для определения профилей температуры $T(r)$ из измеренных распределений $\varepsilon_\lambda(r)$ использовалась зависимость ε_λ от T , рассчитанная по теории Бибермана — Нормана с учетом экспериментальных данных по излучению аргона, полученных в работе [10].

Указанным методом были найдены распределения температуры в светящейся зоне столба при токах дуги от 5.6 до 180 а.

Прежде чем воспользоваться данными измерений на дуге для определения электропроводности $\sigma(T)$, необходимо было выяснить, в какой степени справедливо предположение о наличии локального термодинамического равновесия в плазме столба. В качестве показателя такого отклонения рассматривалась величина $T_e - T_g$ (T_e — температура электронов; T_g — температура тяжелых частиц: атомов и ионов), вычисляемая по формуле [11]

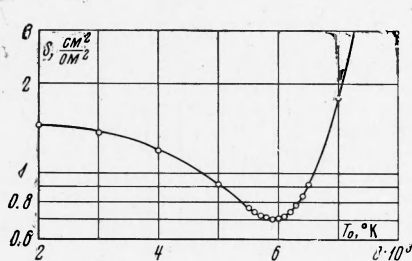
$$\frac{T_e - T_g}{T_e} = \frac{m_g}{4m_e} \frac{(\lambda_e e E)^2}{(3/k T_e)^2} \quad (3.3)$$

Здесь m_g — масса тяжелых частиц, e и m_e — заряд и масса электрона, k — постоянная Больцмана, $\lambda_e = 1/(n_a Q_a + n_i Q_i)$ — средняя длина свободного пробега электронов. n_a и n_i — концентрация атомов и ионов. Сечения столкновения элект-

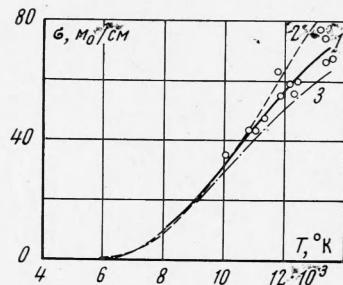
нов с атомами Q_a и ионами Q_i заимствовались из работы [3]. Величина T_e принималась равной температуре, измеренной в опыте на оси столба¹.

Значительные отклонения T_e от T_g (более чем на 10%) наблюдались при токах дуги $I \leq 10$ а. При повышенных токах (≥ 50 а) величина $T_e - T_g$ составляла лишь около 1% измеренных значений T . Результаты этих оценок согласуются с экспериментальными данными Колесникова².

Экспериментальные распределения температуры в столбе $T(r)$ для десяти режимов дуги с токами от 11.7 до 180 а приведены на фиг. 3, где кривые 1, ..., 10 соответствуют значениям $I = 11.7, 18.4, 24.9, 38.1, 60, 81.3, 99.1, 120, 160.5, 180$ а. Участки кривых $T(r)$, показанные сплошными линиями, получены непосредственно из обработки данных оптических измерений. Периферийные участки, показанные штрихом, получены интерполяцией между наименьшими измеренными значениями $T(r)$ и температурой стенки T_w . Величина T_w находилась из теплового расчета диафрагм с учетом данных калориметрических измерений.



Фиг. 4



Фиг. 5

4. Электропроводность аргона $\sigma(T)$ определялась из величин G и $T(r)$ для указанных выше десяти режимов дуги (фиг. 3). Интегральные проводимости G рассчитывались с учетом поправки на паразитный ток i' , протекавший через тело каждой диафрагмы и частично шунтировавший столб дуги³. Указанная поправка определялась по эмпирической формуле

$$i' \approx 2.5 \cdot 10^{-7} \delta_d E I^{2.86} \quad (4.1)$$

где δ_d — толщина диафрагмы в см. Величины G вычислялись по току $I' = I - i'$, при этом I — ток, измеренный во внешней цепи дуги. Поправки на паразитный ток были существенны при повышенных токах дуги.

Зависимость σ от T искалась в виде (1.4) при $l = 2$ и $m = 3$. Задача по определению параметров T_0 , a_2 и a_3 с помощью уравнений (1.10) и (1.11) решалась в два приема. Вначале составлялись и решались уравнения (1.11) при значениях $T_0 = 1000, 2000, \dots, 8000$ К и с учетом полученных коэффициентов a_k ($k = 2, 3$) всякий раз вычислялись значения суммы квадратов невязок S (1.8). По минимуму полученной зависимости S от T_0 (фиг. 4) было ориентировочно оценено оптимальное значение $T_0 \approx 6000$ К. Далее проводилась более детальная оптимизация решения в интервале значений T_0 от 5500 до 6500 К с шагом $\Delta T_0 = 100$ К. В итоге были найдены оптимальные значения параметров $T_0 = 5900$ К, $a_2 = 2.66 \cdot 10^{-6}$ $\text{мо}/\text{см} (\text{°К})^2$, $a_3 = -0.188 \cdot 10^{-9}$ $\text{мо}/\text{см} (\text{°К})^3$.

Тем самым определена зависимость σ от T для аргона при $T \leq \max T(0) \approx 13500$ К и атмосферном давлении в виде

$$\sigma(T) \approx \begin{cases} 0 & (T \leq 5900 \text{ К}) \\ 2.66 \cdot 10^{-6} (T - 5900)^2 - 0.188 \cdot 10^{-9} (T - 5900)^3 & (5900 \leq T \leq 13500 \text{ К}) \end{cases} \quad (4.2)$$

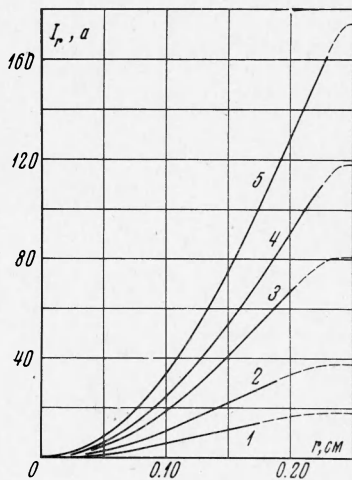
¹ Расчеты выполнялись лишь для оси дуги, на которой отсутствуют градиенты температуры и обусловленный ими перенос тепла электронным газом, не учитываемый формулой (3.3).

² Колесников В. Н. Дуговой разряд в инертных газах. Диссертация, М., ФИАН, 1962.

³ Паразитные токи через диафрагмы обусловлены разностью потенциала ΔV на отрезке столба, охватываемом диафрагмой, и неидеальностью электрической изоляции между ними.

Вычисленная по этой формуле зависимость $\sigma(T)$ представлена на фиг. 5 кривой 1. Участок кривой, показанный сплошной линией, соответствует значениям температуры в столбе дуги, найденным из оптических измерений; участок, показанный штриховой линией, относится к температурам, полученным интерполяцией кривых $T(r)$ на периферии канала (фиг. 3). В интервале измеренных значений $T \approx 8200 \div 13500^{\circ}\text{K}$ величина проводимости σ возрастает \sim с 12 до 71 м/см .

Для анализа и оценки точности определения $\sigma(T)$ проведен ряд специальных расчетов. На фиг. 6 показаны распределения тока по сечению столба



Фиг. 6

$T(r)$ результирующая погрешность определения $\sigma(T)$ согласно численным оценкам составляет $\sim \pm 15\%$ (в среднем для интервала $T \approx 8200 \div 13500^{\circ}\text{K}$).

Надежность полученной зависимости $\sigma(T)$ косвенно проверялась путем сравнения вычисленных токов дуги

$$I_p = 2\pi E \int_0^R \sigma[T(r)] r dr$$

с измеренными токами I . Такое сопоставление проводилось для пяти режимов дуги при $d = 5 \text{ мм}$, исследованных в данной работе, но не использованных при определении σ , а также для шести режимов работы аналогичных дуг в аргоне с диаметрами канала $d = 6$ и 8 мм , исследованных в работе [12]. Результаты поверочных расчетов приведены в табл. 2. Вычисленные и измеренные токи совпадают с точностью до нескольких процентов. Учитывая, что общая ошибка измерения параметров I , E и $T(r)$ могла достигать также нескольких процентов, полученную точность совпадения I_p и I следует признать удовлетворительной.

Таблица 2

№	$d, \text{мм}$	$I, \text{а}$	$E, \text{в/см}$	$G, \text{мо}\cdot\text{см}$	$I_p, \text{а}$	$\frac{ I_p - I }{I} \cdot 100\%$
1	5	33.2	7.4	4.49	31.8	-4.2
2	5	48.9	8.3	5.89	49.5	+1.2
3	5	70.9	9.9	7.16	73.5	+3.7
4	5	137	13.5	10.15	142.4	+3.9
5	5	165.5	14.8	11.18	159.6	-3.6
6	6	79	8.3	9.5	77	-2.5
7	6	110	9.7	11.34	102	-7.3
8	6	201	12.9	15.6	184	-8.5
9	8	40	5.2	7.7	37.5	-6.2
10	8	80	6.0	13.4	76	-5.0
11	8	200	9.2	21.7	206	+3.0

На фиг. 5 найденная зависимость $\sigma(T)$ сравнивается с имеющимися теоретическими и экспериментальными данными по электропроводности аргона. Теоретическая зависимость σ от T [12,3] представлена кривой 2. В области $T \leq 11000^{\circ}\text{K}$ экспериментальная (кривая 1) и теоретическая (кривая 2) зависимости практически совпадают. При $T \geq 11000^{\circ}\text{K}$ теоретическая кривая проходит более круто. Наибольшее отклонение ее от экспериментальной кривой 1 (при $T \approx 13500^{\circ}\text{K}$) составляет $\sim \pm 20\%$, что не на много превышает погрешность эксперимента. Кривой 3 представлена экспериментальная зависимость σ от T , полученная в работе [13] по данным измерений на аргоновой дуге с использованием метода, описанного в [4]. Представленная зависимость располагается примерно на $6 \div 11\%$ ниже значений кривой 1 и, практически, не выходит за пределы точности определения $\sigma(T)$ в данной работе. На фиг. 5 приведены также данные измерений σ на ударной трубе (кружочки), полученные в работе [14], которые удовлетворительно согласуются с кривой 1. Отклонение теоретической зависимости (кривая 2) от экспериментальной в области $T \geq 11000^{\circ}\text{K}$, по-видимому, связано с использованием в [12] несколько заниженных значений сечений ионов Q_i [3].

Проведенные расчеты и сопоставления свидетельствуют о достаточной надежности полученной в работе зависимости $\sigma(T)$ для аргона. Наиболее убедительно об этом говорят сравнительно хорошее совпадение токов I_p и I для существенно отличных режимов независимо исследованных дуг (табл. 2), а также удовлетворительное согласование результатов, полученных независимыми методами на различных источниках плазмы (в данной работе и в работе [14]). Все это дает основание полагать, что предложенный метод определения электропроводности плазмы, будучи достаточно надежным, может быть рекомендован и в тех случаях, когда проводимость исследуемой плазмы слабо изучена.

В заключение автор благодарит Я. М. Буждана за консультации при составлении программы для ЭВМ и Н. А. Рубцова за внимание и полезные советы.

Поступила 16 IV 1969

ЛИТЕРАТУРА

- Пустогаров А. В., Яковлев Е. А. Электропроводность аргоновой плазмы. Термофизика высоких температур, 1965, т. 3, № 5.
- Ma e c k e r H., P e t e r s Th., S c h e n k H. Ionen - und Atomquerschnitte im Plasma verschiedener Gase. Z. Phys., 1955, Bd. 140, H. 2, S. 119.
- Колесников В. Н., Обухов Денисов В. В. Эффективное сечение рассеяния медленных электронов на атомах водорода. ЖЭТФ, 1962, т. 42, вып. 4.
- U h l e n b u s c h J. Berechnung der Materialfunktionen eines Stickstoff - und Argonplasmas aus gemessenen Bogendaten. Z. Phys., 1964, Bd. 179, H. 4, S. 347.
- S c h m i t z G., P a t t H. J. Eine Methode zur Bestimmung von Materialfunktionen von Gases aus den Temperaturverteilungen zylindersymmetrischer Lichtbögen Z. Phys., 1962, Bd 167, H. 2, S. 163.
- N e u m a n n W., S a c k l o w s k i U. Bestimmung der elektrischen und thermischen Leitfähigkeit und der effektiven Volumenstrahlldichte für ein Sauerstoffplasma. Beiträge Plasmaphys., 1968, Bd 8, Nr 1, S. 57.
- Шейндин А. Е., Асиновский Э. И., Батурина В. А., Батенин В. М. Установка для получения плазмы и изучения ее свойств. Ж. техн. физ., 1963, т. 33, вып. 10.
- Батурина В. А., Уланов И. М. Энергетический баланс стабилизированных дуг в аргоне с интенсивным осевым потоком газа. Ж. техн. физ., 1968, т. 38, вып. 5.
- E u l e r J., L u d w i g R. Arbeitsmethoden der optischen Pyrometrie. Karlsruhe, Braun, 1960.
- Асиновский Э. И., Батенин В. М. Экспериментальное исследование непрерывного спектра плазмы аргона. Термофизика высоких температур, 1965, т. 3, № 4.
- Финкельбург В., Меккер Г. Электрические дуги и термическая плазма. М., Изд-во иностр. лит., 1961.
- Асиновский Э. И., Кирilloва А. В. Опытное определение коэффициента теплопроводности плазмы аргона. Термофизика высоких температур, 1965, т. 3, № 5.
- B u e s I., P a t t H. J., R i c h t e r J. Über die elektrische Leitfähigkeit und die Wärmeleitfähigkeit des Argons bei hohen Temperaturen. Z. angew. Phys., 1967, Bd. 22, Nr 4, S. 345.
- L i n S-C., R e s l e r E. L., K a n t r o w i t z A. Electrical conductivity of highly ionized argon produced by shock waves. J. Appl. Phys., 1955, vol. 26, No. 1, p. 95.